

大阪工業大学

東洋技術コンサルタント

正員・岡村宏一

○島田 功

1. まえがき

筆者はすでに稿頭長に対して、厚さの比率の大きいスラブ構造の応力分布について、理想化されたモデルとして、周面固定の場合を選び、材質等が弾性体と仮定したうえで、三次元解析による1つの基本的データを示した。¹⁾もちろんコンクリート構造のような複合材においては、内蔵される鉄骨や、鉄筋の持つ不均質性、さらにはコンクリートのひびわれなどの影響について、今後、より詳細な議論が必要となるであろう。ところで、この種の研究として有限要素法によるもののがみかけられるか、電算計算機の発達した現在でも、三次元解析となると、計算容量、および、局所的な力の移動に関する、初期値接続問題としてこの二の種の解析における精度上の点などから、なお問題点があるようであり、解析データも目下のところほとんど見当らない。さて、筆者はMindlin解の多面的応用によつて、すでに不均質性、弹性性、ひびわれ現象等を高精度で解析しうる1つの数値解法を提案してきた。本研究は、これらの解法を応用し、標説の構造物の力の流れ、および、ひびわれによつて生ずる内部応力の再分配の様子を知り、耐荷力の検討を行はうものである。すなわち、構造物は内蔵される補剛材によつて、部分的に強化され、補剛材は、とりまく母体とともに变形する。一方、母体は引張に対し、引張限界応力までの弹性的であるが、この引張限界応力に達するとひびわれが発生し、応力の再配分やあらわせる。また、Dancigerにより提案された塑性理論に従つて、母体には、せん断すべりやせん断するものとして解析する。

2. 解法

解析上の仮定として、前論文^{2),3)}でも用いたように、不均質性、ひびわれ、および剛性に関する物理量は、分割された有限小領域において平均値をもつものとし、また、それらは、有限小領域内に設けた選点において評価されるものとする。さて、母体と補剛材間のすべりはないものとし、補剛材のある有限領域の合成において弹性マトリックスを次のように与える。

$$[D] = [D_c] + [D_s] \quad \dots \quad (1)$$

$[D_c]$: 母体の弹性マトリックス

$$[D_s] = \begin{bmatrix} a_{11} & 0 & 0 & 0 & 0 & 0 \\ 0 & a_{22} & 0 & 0 & 0 & 0 \\ 0 & 0 & a_{33} & 0 & 0 & 0 \\ 0 & 0 & 0 & 0 & 0 & 0 \\ 0 & 0 & 0 & 0 & 0 & 0 \\ \Delta & 0 & 0 & 0 & 0 & 0 \end{bmatrix}$$

: 補剛材の含有率による異方性の弹性マトリックス

1) 島田、岡村：“厚い長方形スラブの応力と変形”土木学会論文報告集投稿中

2) 岡村、島田：“弾塑性もしくは不均質弹性を有する三次元体の数値解法”

土木学会論文報告集 No.212, pp. 11~24, 1973

3) 岡村、島田：“ひびわれを有する不均質三次元体の数値解法”

第28回年次学術講演概要 I, pp. 41~43, 1973

4) Schnobrich W.C., et al：“Finite element analysis of reinforced concrete” ASCE, Vol. 99, ST 10, pp. 2109~2122, 1973

(a) 母体のひびわれ現象の解析

各選点における母体の応力に対し長年方程式の実験として与えられる主応力 $\{\sigma'_i\}_c$ ($i=1, 2, 3$) を求め、その中の1つや、引張限界応力 σ'_c に達したとすると、その方向の直応力に抵抗しない、また、それに対する側のせん断応力に対する抵抗が低下するような材料は母体が変化する。すなわち主応力方向の座標系 $x'-y'-z'$ に対するひずみ $\{\epsilon'_i\}$ に対して、 $\{\sigma'_i\}_c = [D'_c]\{\epsilon'_i\}$ で表される弾性マトリックスの要素が上述の条件を満足するように変換される。これを、もとの座標系 $x-y-z$ にもどすと

$$\{\sigma'_i\}_c = [k][D'_c][L]\{\epsilon'_i\} = [D''_c]\{\epsilon_i\} \quad \dots \quad (2)$$

ただし、 $[k][L]$ は座標変換マトリックス

これは、ひびわれによつて母体の1部が変化した、応力-ひずみ関係式である。したがつて補削材のある有限小領域での合成された弾性マトリックスは

$$[D''_{cr}] = [D''_c] + [D_s] \quad \dots \quad (3)$$

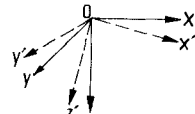


図-1

となる。また、このひびわれが発生すれば、母体はもとの材料に回復するものとする。

(b) 母体のせん断すべりの解析

材料の仮定として、母体は、弾完全塑性体として塑性域での応力-ひずみ関係は flow rule にしたがつるものとする。さて、全ひずみ速度 $\dot{\epsilon}_i$ は、弾性、および塑性ひずみ速度成分 $\dot{\epsilon}_e$, $\dot{\epsilon}_p$ からなり、

$$\dot{\epsilon}_i = \dot{\epsilon}_e + \dot{\epsilon}_p = [D_c]\dot{\epsilon}_e + \dot{\epsilon}_p \quad \dots \quad (4)$$

いま、降伏条件を塑性ポテンシャル f とすれば、塑性ひずみ速度 $\dot{\epsilon}_p$ は、

$$\dot{\epsilon}_p = \mu \frac{\partial f}{\partial \sigma_i} \quad \dots \quad (5)$$

ただし μ : 塑性变形中変化するスカラー量

$$\dot{\epsilon}_p = [D_c]\dot{\epsilon}_e - [D_c]\dot{\epsilon}_p = [D_c]\dot{\epsilon}_e - [D_c]\mu \frac{\partial f}{\partial \sigma_i} \quad \dots \quad (6)$$

式(6)を0から大きづ時間積分をとること、また $\int_0^t [D_c]\mu \frac{\partial f}{\partial \sigma_i} dt$ の項を荷重段階の和に置換し、さうして補削材のある領域では、補削材の応力-ひずみ関係を合成すると

$$\dot{\epsilon}_p = [D]\dot{\epsilon}_e - \sum_j [D_c]\mu \frac{\partial f}{\partial \sigma_i} \quad \dots \quad (7)$$

図-2 降伏曲面

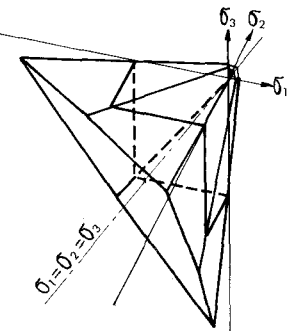
さて、本文では、降伏条件として Drucker の式を用いた。すなわち

$$f = |\tau| + \gamma \sqrt{\tau^2 - \tau_0^2} = 0 \quad \dots \quad (8)$$

式中 γ は材料定数であり、それを γ 、内部摩擦係数、母体のせん断強度である。ここで最大、最小主応力 σ_1, σ_3 ($\sigma_1 \geq \sigma_2 \geq \sigma_3$) を用いて書き改めると

$$f = (\gamma^2 + 1)^{\frac{1}{2}} \frac{\sigma_1 - \sigma_3}{2} + \frac{\gamma}{2}(\sigma_1 + \sigma_3) - \tau_0 = 0 \quad \dots \quad (9)$$

さて、式(7)に含まれる弾性マトリックスは、ひびわれによる弾性マトリックスの変換も考慮されたものである。以下の解式では、それらの影響も同時に含まれる。さて、一般に3次元問題において、解の見出されている基本的 Case は、等方弾性体の場合である。そこで 基本となる 等方性の弾性マトリックス $[D_0]$ とすると、



両者の偏差は、ひびき中の状態、補削材によって、各有限領域で異なりや、それを一枚に ΔD とすると、式(6)は次のようにする。

$$\{\delta\} = [D_0]\{\varepsilon\} + [\Delta D]\{\varepsilon\} - \sum_j [D_{0j}] \mu \frac{\partial^2}{\partial \alpha_j^2} \{ \}, \quad \dots \quad (12)$$

したがって、釣合式(1)代入すると、より、本問題の3次元体の運動を支配する3つの基礎式が得られる。

$$\left. \begin{aligned} (\lambda_0 + G_0) \left(\frac{\partial^2 u}{\partial x^2} + \frac{\partial^2 v}{\partial x^2} + \frac{\partial^2 w}{\partial x^2} \right) + G_0 V^2 u &= \frac{\partial \sigma_x^*}{\partial x} + \frac{\partial \tau_{xy}^*}{\partial y} + \frac{\partial \tau_{xz}^*}{\partial z} \quad (= -X) \\ (\lambda_0 + G_0) \left(\frac{\partial^2 u}{\partial y^2} + \frac{\partial^2 v}{\partial y^2} + \frac{\partial^2 w}{\partial y^2} \right) + G_0 V^2 v &= \frac{\partial \sigma_y^*}{\partial y} + \frac{\partial \tau_{xy}^*}{\partial x} + \frac{\partial \tau_{yz}^*}{\partial z} \quad (= -Y) \\ (\lambda_0 + G_0) \left(\frac{\partial^2 u}{\partial z^2} + \frac{\partial^2 v}{\partial z^2} + \frac{\partial^2 w}{\partial z^2} \right) + G_0 V^2 w &= \frac{\partial \sigma_z^*}{\partial z} + \frac{\partial \tau_{xz}^*}{\partial x} + \frac{\partial \tau_{yz}^*}{\partial y} \quad (= -Z) \end{aligned} \right\} \quad \dots \quad (11)$$

$$\text{また } \{\delta^*\} = [\Delta D]\{\varepsilon\} - \sum_j [D_{0j}] \mu \frac{\partial^2}{\partial \alpha_j^2} \{ \}, \quad \dots \quad (12)$$

式(11)の右辺の項は、式(12)からもわかるように補削材、母体のひびき中、および母体の塑性変形に従属する項で、釣合式の左側から Body Force と同じ性格をもつ。ところで、まさかまでもふ中たよじて、選点たむかにむ有限領域では、これらの物理量は均一な分布をもつものとみせば、前論文にも示してように、部分的差分法により、補削材による強化、および母体のひびき中により剛性の変化する領域では、また母体の塑性化した領域では、 μ は関する1次式として与えられる。したがって、荷重段階の各時点で、 $\{\delta\}$ 、および $\{\varepsilon\}$ は、各選点におけるひずみの条件、および降伏条件により形成される連立方程式の解として定まり、分割はむかべて各領域で評価小ねばならぬ X_k 、 Y_k 、 Z_k が求まり、これらを Body Force として作用させることにより(選点のひずみ、および変位)が得られる。さらには荷重によるひずみおよび変位、ならびに前論文¹⁾で示した、境界調整法により求めたひずみを重ね合わせることにより、荷重段階の各時点でのひずみ、変位、さらに応力が求まる。

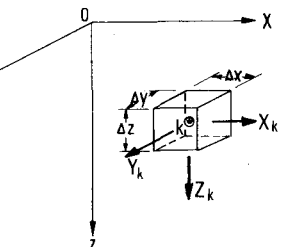


図-3 有限小領域

3. 過程計算の方法

まず、各有限領域で補削効果による剛性変化を考慮して3次元弾塑性問題としての解析を境界調整とともにおこなう。各選点における母体のひびき中、および降伏条件を照査し、弹性限界荷重での応力、ひずみ、変位を求め、以下、次のような過程計算をおこなう。

1) 荷重段階($j-1$)における諸量は確定したものとし、荷重増分をあこない、(j)段階へ移る。まず、母体の応力 σ_{ij} 、ひずみ ε_{ij} 、最大主応力 σ_{ij} 、母体の引張限界応力を越えているかどうかを判定し、越えていない場合は(2)の過程へ移る。越えてくる場合は、引張限界によるように荷重増分を調整し、ひびき中発生による弾性マトリックスの変換をおこない、このひびき中発生による応力分配の影響が、各点の応力、ひずみ、および変位に加算される。同時に、各選点において、新しいひびき中の発生、ならびに回復、および、(2)に述べる塑性化の検討をおこない、新しいひびき中の発生に対しては上述の過程が繰返される。ひびき中の回復がおこれば、その点の弾性マトリックスをもとの状態に変換し、次の過程へ進む。塑性化については(2)の操作をおこなう。

2) (1)で計算された、各選点の母体の応力 σ_{ij} に対する、母体の降伏条件の判定をおこなう。すべての選点で $f \leq 0$ の場合、(1)の過程へ移行し、次の荷重段階へ進む。 $f > 0$ の場合、塑性条件に従って、各点の応力、ひずみ、および変形に及ぼす影響が加算され、その点の応力が収束するまで(2)の過程が繰返され、また(1)の後半で述べた新しいひびき中の発生、ひびき中の回復、塑性化を検討する。当然の二つながら(1)、(2)の過程において、境界調整も同時におこなわれる。

4. 計算例

表面に分布荷重を受ける周面固定の厚い長方形スラブについて、前論文¹⁾の弾性計算をもとに既筋をあこない、計算をおこなった。結果については、以下整理中であり、講演時にデータを主体に説明する。